

九州工業大学 正 勝 潤
 九州工業大学 大学院 学 ○ 足田 芳徳
 九州工業大学 学 研究役一
 九州工業大学 正 西村 直人

1. はじめに 安定に密度成層化された貯水池や海域において、上層に何らかの外乱力が加わると、成層界面を通じて静止状態にある下層水が上層へと運行される。そこで、運行速度と乱れの強さ(外乱力)との関係について検討するため、二成層の上層において格子を振動させることによって乱れを発生させ、平均せん断流のない乱れのみが作用した場合について、界面の時間的変化、波高変化を測定した。今回は、密度界面の運行速度、変動特性及び界面の変動速度特性について述べる。

2. 実験概要 今回は、密度界面の変動特性の格子中心位置からの距離D及びRichardson数との関係を調べるために、格子振動数 f_0 の影響は入らないよう¹⁾に密度界面のBrunt-Väisälä振動数 f_N よりはるかに大きな $f_0 = 4\text{ Hz}$ に固定し、格子ストロークを $Z_0 = 1, 2, 4\text{ cm}$ の三種類に、二層間初期密度差 ρ_M 、界面深さ D_0 を適当に変え、 $Rio = \frac{B_0(D_0 + D_0)}{(f_0 Z_0)^2} (\rho_M = 1.02, 1.08)$ とする Rio 数を約0.5, 1.2, 5.5, 15となおうように変え、表1に示す条件で実験を行なった。装置及び測定法については前報¹⁾に述べた。格子は $M = 5\text{ cm}$, $d = 1\text{ cm}$ の正方格子である。

3. 運行速度 運行速度 U_e は平均流速が存在しないので、 $U_e = dP/dt$ として求められる。運行速度 U_e と Rio の関係をストローク別に示したもののが、図1である。図中の数字は界面位置Dを示す。図よりDが Z_0 の約7倍までは Rio に従い、それ以上深い位置では、 Rio' に変化するところがわかる。²⁾これらの傾向は、昨年までの結果と同じであるが、運行速度は波高計を挿入して求めたため、わずかに低い値となった。今回の結果を一応式化すると次のようである。

$$\frac{U_e}{f_0 Z_0} = \begin{cases} 4.55 \times 10^3 (D/M)^{-5} Rio^{-1/2} & (Z_0=1, \rho_M < 1.2) \\ 1.76 \times 10^3 (D/M)^{-4} Rio^{-1} & (Z_0=1, \rho_M > 1.2) \\ 0.792 (Z_0)^{1/3} (D/M)^{-7} Rio^{-3/2} & (Z_0=2, \rho_M < 3.0; Z_0=4) \\ 0.792 (Z_0)^{1/3} (D/M)^{-7} Rio^{-1} & (Z_0=2, \rho_M > 3.0) \end{cases}$$

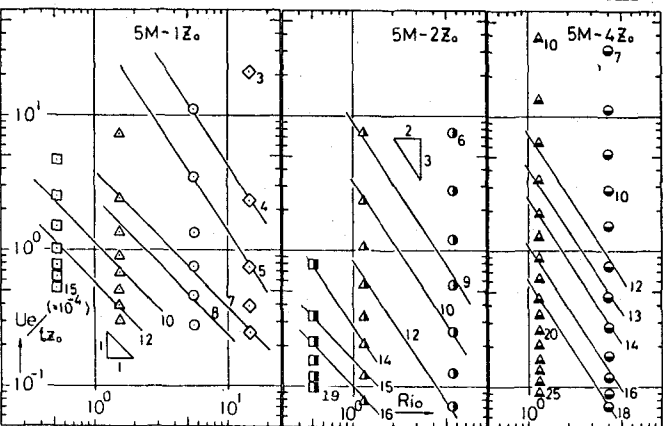
(M: 格子メッシュ)

Exp. No	Symbol	Z_0 (cm)	Rio	D_0 (cm)	D_e (cm)
515	□	1	0.521	7.55	16.05
514	△	1	1.540	5.20	13.35
513	○	1	5.540	3.20	9.65
516	◇	1	14.640	2.20	7.15
523	■	2	0.505	13.60	19.20
522	▲	2	1.200	8.90	15.70
521	●	2	5.570	5.15	11.95
542	△	4	1.200	8.50	24.80
541	○	4	3.970	5.35	17.30

Table-1

この結果から、乱れの強さがDの増加とともにあって急激に減少するため、進行の機構が $D/Z_0 \div 7$ 近傍で変化しているものと推定される。

4. 界面変動の特性 振動格子による密度界面の変動を把握するため、内部波高計を用いて界面の変位量を測定し、きざみ時間 $dt = 0.05\text{ sec}$ 、データ数 $N = 2048$ でMEM法を用いてスペクトルを計算し、 $Rio = \text{const.}$ とし Z_0 の影響を示したもののが図2、 $f_0 Z_0 = 4$ と Rio の影響を示したもののが図3である。界面変動の特性

Fig.1 $U_e/f_0 Z_0 - Rio$ relationship

量は、界面位置が急激に変化する祐子近傍をどうかしが困難であったが、図3の右端間に見られよう。祐子振動数 $f_0 = 4 \text{ Hz}$ のピークは急激に減衰し、スペクトルピーク周波数 f_p は密度界面間の Brunt-Väisälä 振動数 f_N 近傍に移りこむことがわかった。そして、Dの増加とともに全体のエネルギーレベルが減少し、より徐々に減衰することがわかる。また、同じ界面位置でのスペクトルピークは、 Rio の増大とともに減衰していくことがわかる。また、ピーク周波数より高周波側の減衰が一歩でわかることは、波の性質が強いことを意味している。

次に、界面変動のエネルギーは、 $E = 4\pi g Z_0^2$ で表わされるとが、これを $E_0 = 4\pi g Z_0^2$ で無次元化し、相対距離 D/M による変化は図5のようである。これらを式化すると次のようである。

$$\frac{E}{E_0} = de \cdot (D/M)^{-5} Rio^{-2}$$

ただし、deは、0.35 ($Z_0=1.2 \text{ cm}$)、0.80 ($Z_0=4 \text{ cm}$) であった。界面変動のエネルギーは、 $Rio^{-2} \cdot (D/M)^{-5}$ で急激に減衰するかしがわかる。

次に、界面の変動速度を $v = \sqrt{\frac{E}{\rho}}$ で近似し、これのスペクトルの一例を図4に示した。この減衰は一歩でわかった。

変動速度 v の r.m.s. を v' で表わすと、この祐子からの距離に対する変化を図6に示した。図には、homogeneous 環境で測定された Thompson-Turner の乱れ強度の結果も示した。結果を式化すると、次のようになる。

$$v'_{f_0 Z_0} = \begin{cases} 0.073 (D/M)^{-1/4} Rio^{-1/2} & (Z_0=1) \\ 0.097 (D/M)^{-2/5} Rio^{-1/5} & (Z_0=2) \\ 0.73 (D/M)^{-3/8} Rio^{-3/8} & (Z_0=4) \end{cases}$$

祐子からの距離に対する減衰ベキ乗は、Thompson-Turner の結果では -1 来であるが、著者らの結果では $(D/M)^{-n}$ の n の値は大きく、 $v'_{f_0 Z_0}$ の値は低くなる。これは、界面の存在が起因しているのであろう。また、 Rio の影響があらわれ、約 -1/4 来となる。ついで、

最後に、助言をいただいた九州大学工学部 稲葉一郎教授に、実験に協力いただいた本学開発工学科 大学生 光玉英信、松村成彦君及び学生の諸君に心から謝意を表わす。

(参考文献) 1) 清民日ほか 土木学会 土木技術年譜 (1981) p.103.

2) Thompson-Turner ; J.F.M. vol.67 (1975)

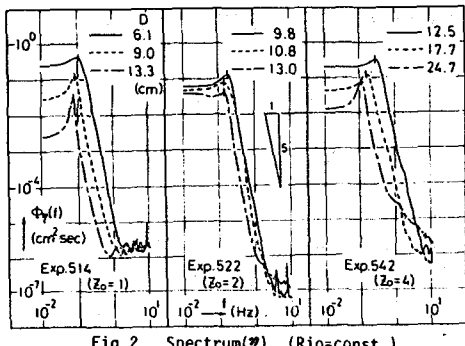


Fig. 2 Spectrum (%) (Rio=const.)

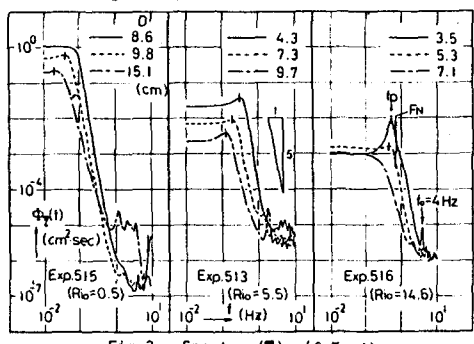


Fig. 3 Spectrum (%) (foZo=4)

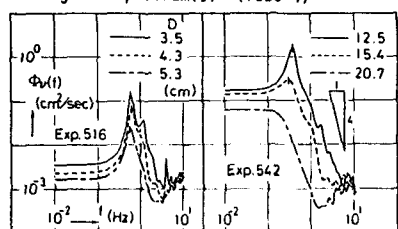


Fig. 4 Spectrum (v)

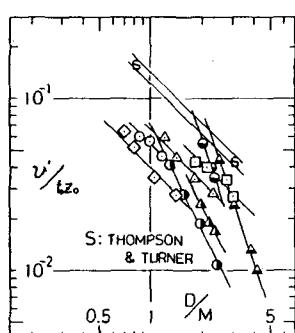


Fig. 6 $v'_{f_0 Z_0}$ - D/M relationship

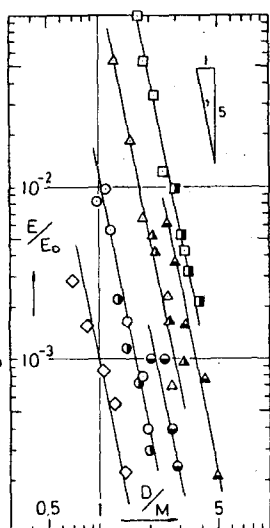


Fig. 5 E/E_0 - D/M relationship